

表 1 验证马吕斯定律数据记录表

$\theta(^{\circ})$	0	10	20	30	40	50	60	70	80
$\cos^2\theta$	1	0.985	0.940	0.866	0.766	0.643	0.5	0.342	0.174
相对功率P	1161	1153	1053	899	734	512	310	157	44
$\theta(^{\circ})$	90	100	110	120	130	140	150	160	170
$\cos^2\theta$	0.000	-0.174	-0.342	-0.5	-0.643	-0.766	-0.866	-0.940	-0.985
相对功率P	2	32	118	271	461	647	839	989	1091
$\theta(^{\circ})$	180	190	200	210	220	230	240	250	260
$\cos^2\theta$	-1	-0.985	-0.940	-0.866	-0.766	-0.643	-0.5	-0.342	-0.174
相对功率P	1125	1096	995	853	667	467	282	135	36
$\theta(^{\circ})$	270	280	290	300	310	320	330	340	350
$\cos^2\theta$	0.000	0.174	0.342	0.5	0.643	0.766	0.866	0.940	0.985
相对功率P	2	32	127	276	456	668	853	1016	1122

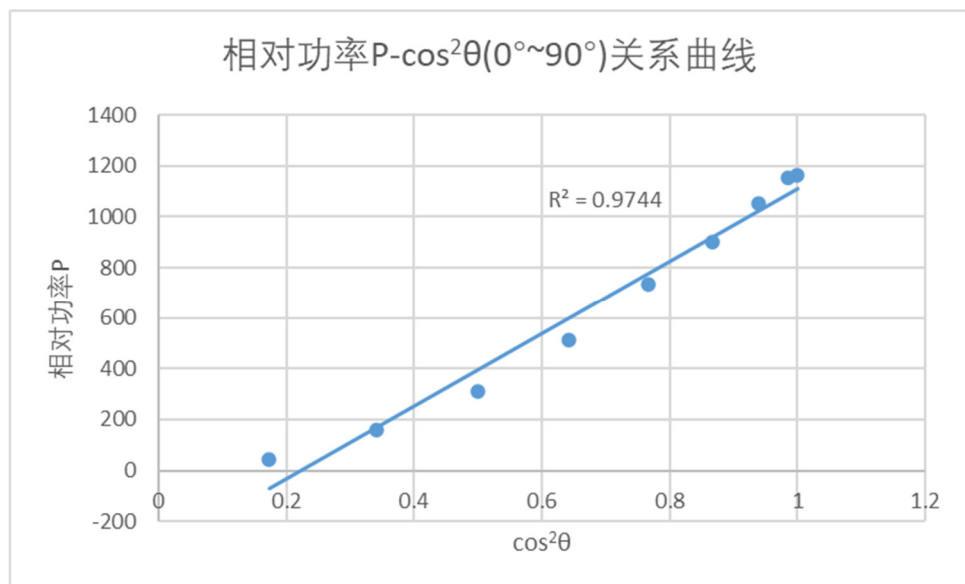
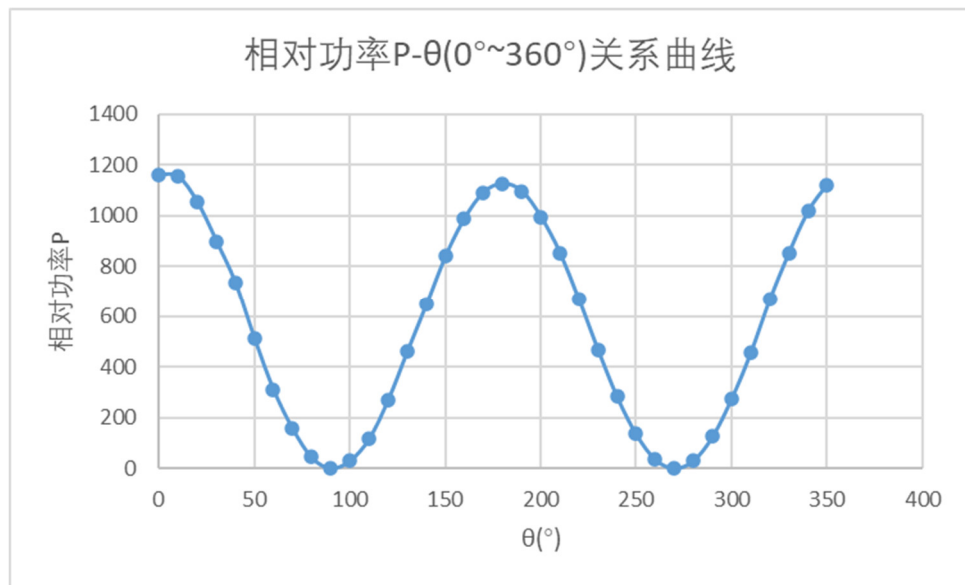


表 2 $\frac{1}{4}$ 波片转动时偏振态变化情况

$\frac{1}{4}$ 波片转动角度 θ	检偏器转 360° 过程中观察到的现象及对应的功率值											
	0°	30°	60°	90°	120°	150°	180°	210°	240°	270°	300°	330°
0°	902	708	246	3	213	655	880	674	233	3	210	662
15°	723	752	441	113	94	400	719	741	422	107	99	406
30°	497	630	552	328	196	276	489	620	541	327	198	277
45°	358	400	458	457	406	349	351	394	451	451	406	366
60°	478	276	215	348	533	569	440	260	210	343	541	589
75°	696	397	98	111	401	681	651	368	93	111	418	695
90°	801	608	216	3	189	577	773	589	201	3	200	589

表 3 各 θ 下检偏器转 360° 过程中功率值的变化

